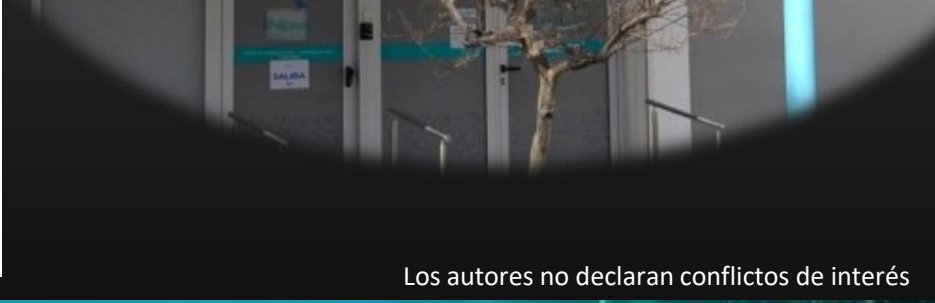
ADENOMIOSIS: UN RETO DIAGNÓSTICO

Autores:

Tevez Craise Leopoldina, O'lery Carlos Patricio, Prado Moran Florencia, Le Lan Damián, Ludueña Vanesa, Muñoz Nicolás









ECOGRAFÍAS

LUM





Objetivos de Aprendizaje

Adenomiosis: Un reto diagnóstico

Identificar los hallazgos carácterísticos de la adenomiosis (AD) en ecografía transvaginal (TV) y en resonancia magnética de pelvis de alta resolución (RM)



Valorar la importancia del Doppler-color (DC) y de la RM para los diagnósticos diferenciales







Revisión del tema

Adenomiosis: Un reto diagnóstico

Definición

Epidemiología

Factores de Riesgo

Signos y síntomas

La AD es una entidad ginecológica benigna, que se caracteriza histopatológicamente por la presencia de glándulas endometriales y estromales en el endometrio asociado a hiperplasia del músculo adyacente.

Prevalencia entre un 5% al 70%.
Afecta al 20-35% de mujeres en edad reproductiva.

En la actualidad con el advenimiento de los métodos de diagnóstico menos invasivos se reconoce AD en mujeres nulíparas sintomáticas entre 18-30 años que se hacen una ETV y en mujeres sintomáticas entre 18-42 años que se someten a una RM.

-Aumento de edad en las mujeres.

- -Aumento del número de partos por cesáreas.
- -Interrupción del embarazo.
- -Exposición excesiva a estrógenos (obesidad, menarca precoz, ciclos menstruales cortos).

Suelen ser inespecíficos y pueden coexistir con otras enfermedades pélvicas.
Síntoma más frecuente la MENORRAGIA Otros: metrorragia, infertilidad, dismenorrea y dispareunia.

1/3 de las mujeres con AD son asintomáticas.





Primera teoría

Adenomiosis: Patogenia

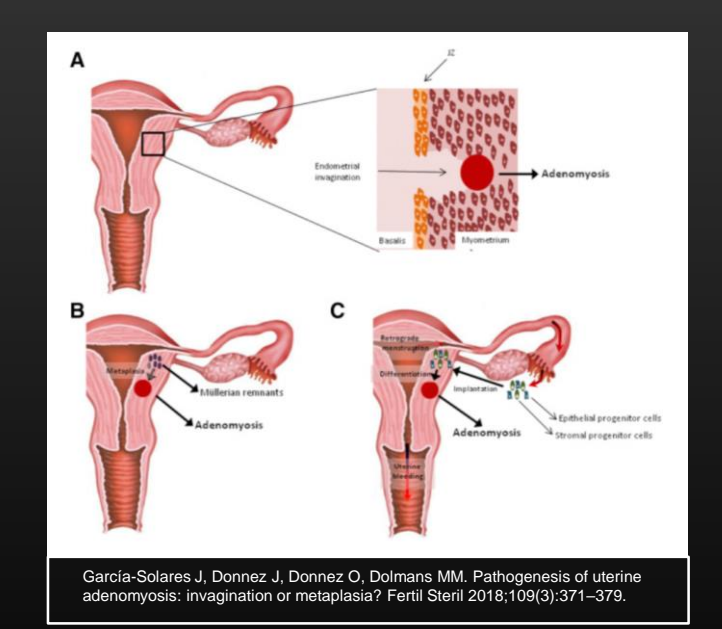
DOS TEORÍAS

Segunda teoría



Migración del tejido endometrial a través de la capa basal hacia la unión del miometrio con invasión del mismo debido al aumento suprafisiológico de estrógenos "hiperestrogenismo".

La más aceptada



Se genera de novo a partir de la metaplasia de restos müllerianos pluripotentes embrionarios intramiometriales de la pared uterina adulta, estableciéndose endometrio ectópico en el miometrio.

Puede derivar de la diferenciación de células madres adultas depositándose en el útero luego de una menstruación retrógrada dando implantes endometriales miometriales.





Adenomiosis: Diagnóstico Ecografía 688

Hallazgos ecográficos que reflejan la histopatología del proceso

ADENO

Presencia de glándulas endometriales y estromales en miometrio

Combinados o sin combinar

MIOSIS

Hiperplasia e hipertrofia miometrial

Combinados o sin combinar



VASCULARIZACIÓN

Cambios en la vascularización por hipertrofia e hiperplasia muscular

Hallazgos ecográficos:

- Nódulos ecogénico y/o trazos lineales ecogénicos
- Quistes miometriales
- Estrias quísticas

Hallazgos ecográficos:

- Engrosamiento miometrial focal o difuso
- Útero globuloso de tamaño normal o agrandado
- "Persiana Veneciana"

Hallazgos ecográficos:

- Aumento de la vascularización
- Vasos vasculares penetrantes



MIOMETRIO HETEROGÉNEO



Adenomiosis: Diagnóstico Ecografía 688

Invasión de glándulas y del estroma endometrial en el miometrio

Presenta una dirección de "adentro hacia afuera", desde el 🏻 endometrio hacia el miometrio

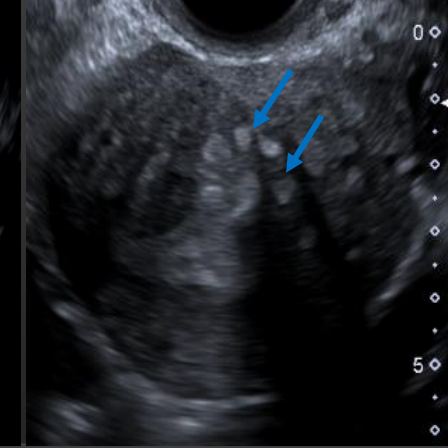
Los guistes miometriales promedian entre 1-5 mm. Suelen ser anecoicos pero pueden tener contenido ecogénico, lo que representa contenido "hemático" (círculo blanco)

Hallazgos ecográficos:

- Estrías ecogénicas miometriales paralelas entre sí (cabeza de flechas)
- Nódulos ecogénicos miometriales (flechas azules)
- Quistes miometriales (flecha blanca)
- Divertículo (flecha naranja)



Estría ecogénica con líquido en su totalidad "Divertículo"



Paciente de 45 años con menorragia de años de evolución



Paciente de 60 años con dolor pelviano



TEACHING POINT:

Los quistes miometriales son el resultado de las glándulas endometriales con contenido líquido, siendo un criterio sensible y específico de AD.





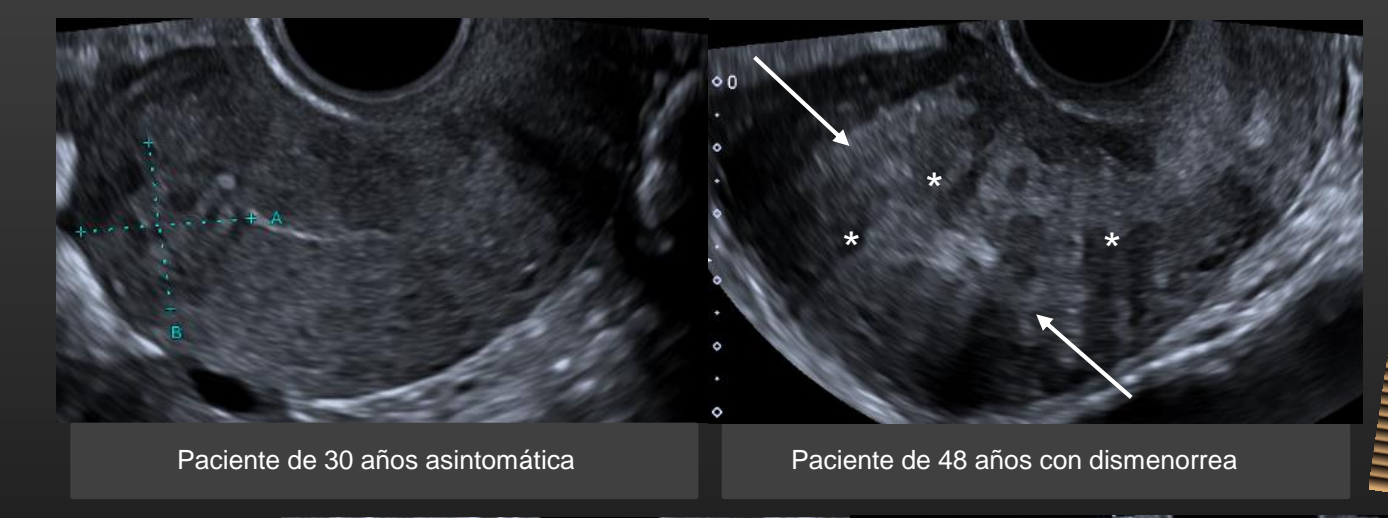
Adenomiosis: Diagnóstico Ecografía 688

"Persiana Veneciana"

La presencia de glándulas endometriales provocan una reacción local dando como resultado hiperplasia e hipertrofia del músculo liso del miometrio.

TEACHING POINT:

La "Persiana Veneciana" generalmente se evidencia con mayor precisión cuando se va desplazando por el útero, siendo de utilidad utilizar clips de cine.



Hallazgos ecográficos:

- -Engrosamiento de forma focal (cáliper A y B)
- -Engrosamiento de forma difusa (útero globuloso o de tamaño normal) (flechas blancas)
- -Engrosamiento miometrial asimétrico (flechas azules)
- -Útero heterogéneo (*)
- -Trazos lineales hipoecoicos paralelos entre sí en el miometrio "Persiana Veneciana" (cabezas de flechas)



Mujer de 40 años dispareunia



Adenomiosis: Diagnóstico Ecografía TV

"VASCULARIZACIÓN" o Evaluación Doppler-color

Hallazgos ecográficos:

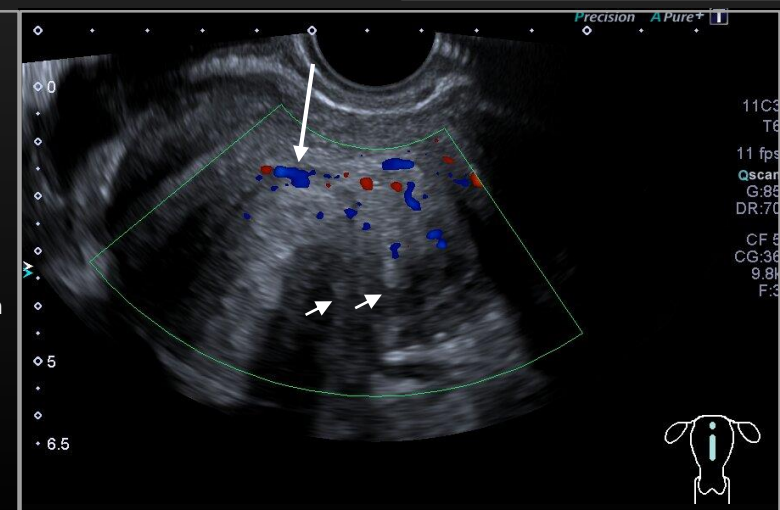
-Aumento de vasos tortuosos y penetrantes en el miometrio mediante el Doppler-color (flechas blancas)



La hiperplasia e hipertrofia muscular genera un aumento de la vascularización de los vasos penetrantes del miometrio.

Paciente de 25 años asintomática

Área heterogénea predominantemente hiperecoica a nivel del cuerpo del útero asociado a trazos lineales hiperecogénicos paralelos entre sí en el miometrio (flechas blancas cortas)



TEACHING POINT:

La vascularización en la AD focal penetra el miometrio, mientras que en los leiomiomas los vasos están desplazados y muestran flujo predominantemente periférico.







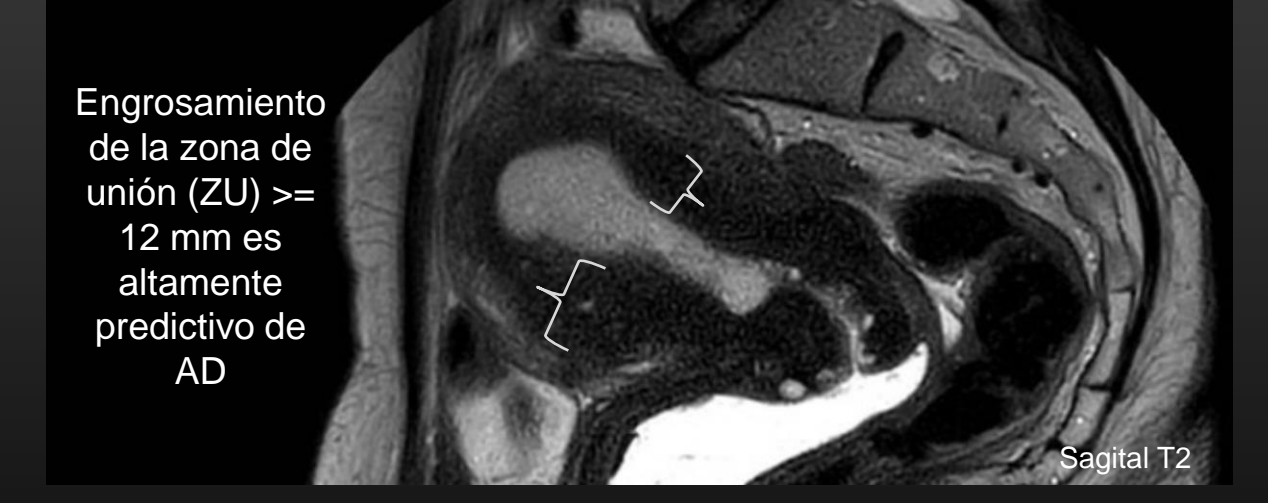
688

Engrosamiento fisiológico de la ZU >12 mm durante la menstruación (día 1-2 del ciclo), por lo cual, evitar la RM en fase menstrual para un correcto diagnóstico.



TEACHING POINT:

La secuencia ponderada en T2 es más importante que la secuencia T1 con contraste para el diagnóstico de AD.



Hallazgos RM de pelvis:

- -Engrosamiento de la ZU focal o difusa "área hipointensa" interfase endometrio-miometrial (corchetes blancos)
- -Aumento globuloso del tamaño del útero

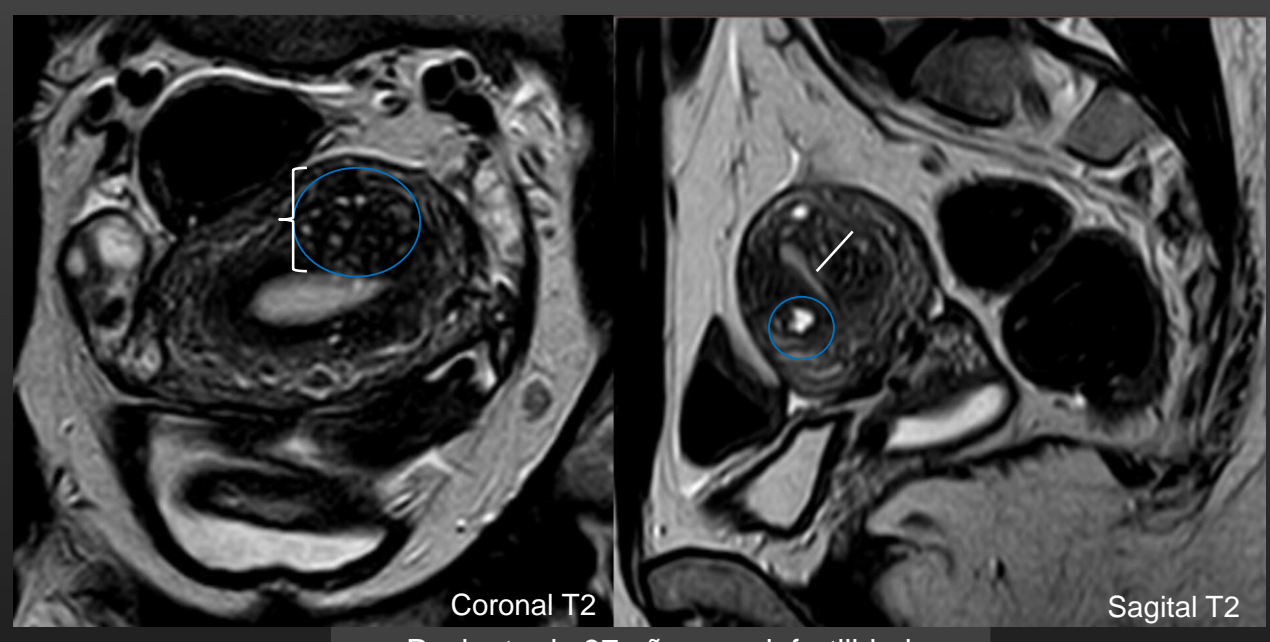




Revisión del tema

LUM

Adenomiosis: Diagnóstico RM de pelvis de alta resolución



Paciente de 37 años con infertilidad



Principal criterio
diagnóstico de AD por RM
"Presencia de pequeños
quistes miometriales, que
promedian 3 mm y
corresponden a tejido
endometrial"

TEACHING POINT:

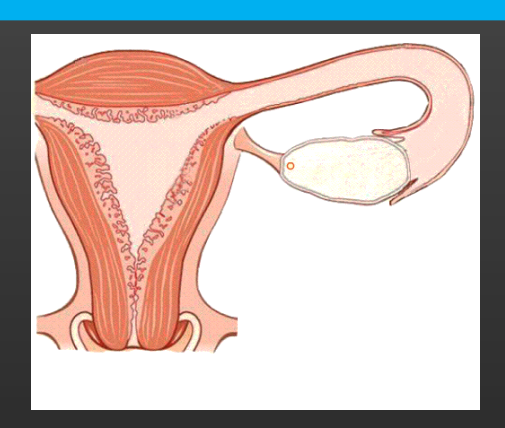
Los quistes miometriales son hipointensos en T1 pero pueden ser hiperintensos si hay sangrado dentro del tejido endometrial ectópico.

Hallazgos RM de pelvis:

- -Quistes miometriales: Hiperintensos en T2, localizados en área hipointensas en correlación a la hiperplasia del músculo liso (círculos azules)
- -Engrosamiento de la ZU "área hipointensa" en forma focal (corchete blanco) y en forma difusa (línea blanca)



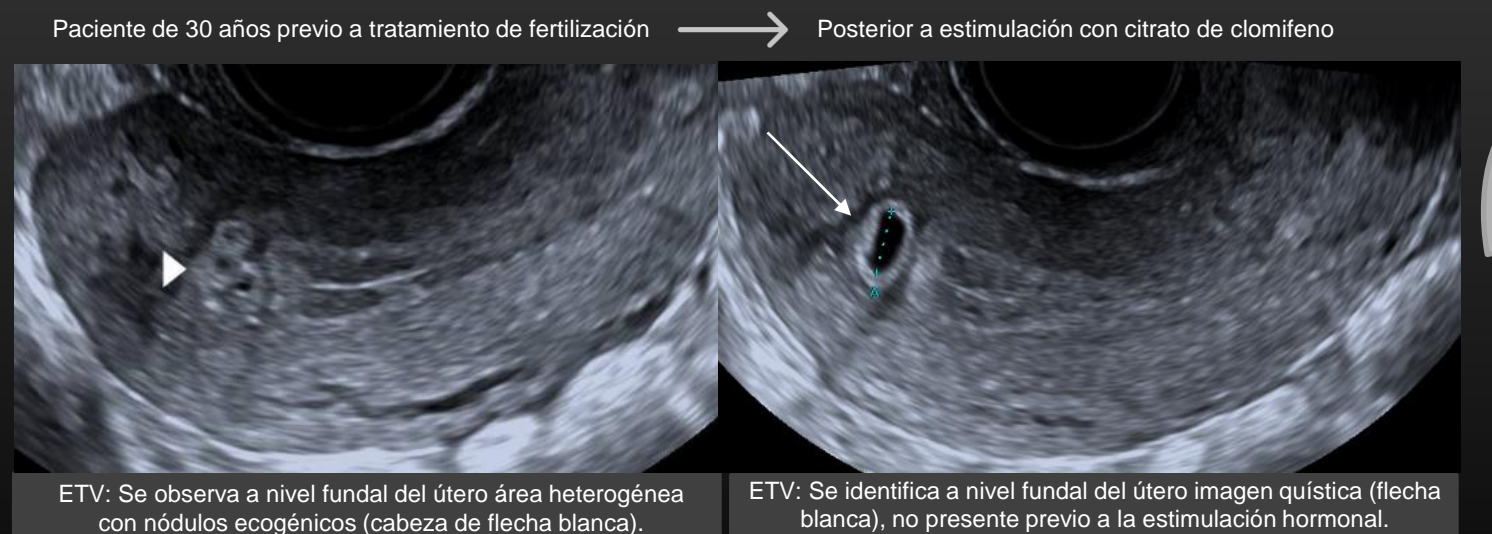
Adenomiosis: Apariencia inusual Respuesta inusual a estímulos hormonales



Con las técnicas de fertilización asistida en pacientes con AD focal generalmente frente a los estímulos hormonales externos se visualiza incremento en el componente quístico del miometrio en el sector de la AD focal.

TEACHING POINT:

Es importante reconocer la AD focal en pacientes en tratamiento por infertilidad para evitar diagnósticos erróneos.





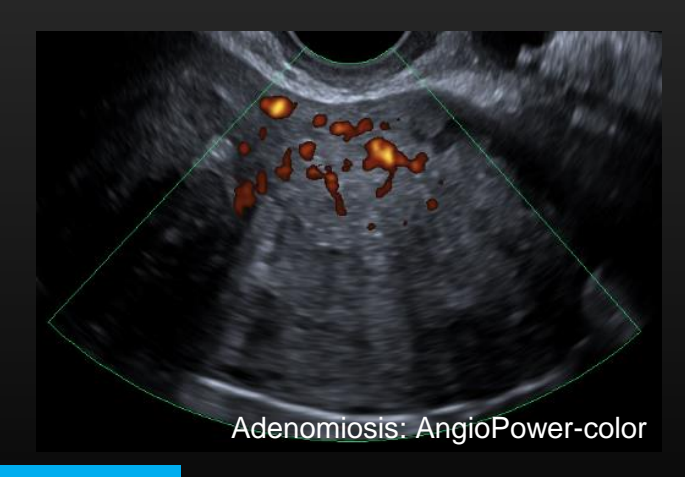
RM de pelvis: Se observa área hipointensa a nivel fundal con imágenes quísticas hiperintensas en su interior (círculo blanco), compatible con AD focal en paciente con cese de estimulación hormonal.





Adenomiosis: Diagnósticos Diferenciales: Leiomiomas





Pueden tener "persiana veneciana" pero además suelen tener sombra acústica posterior en los bordes, ausente en AD.

Hallazgos ecográficos:

-Masa hipoecoica (flecha azul), pueden tener calcificaciones y sombra acústica posterior en sus bordes (cabeza de flechas) -Doppler-color: Vasos periféricos y escasamente penetrantes (flechas blancas)

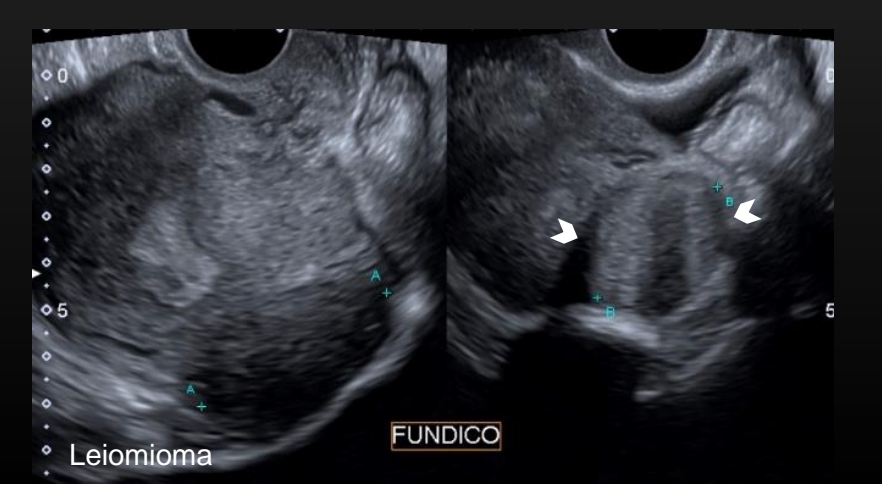


Leiomioma

Principal diagnóstico diferencial

TEACHING POINT:

En el leiomioma los vasos son periféricos y pocos penetrantes con el Doppler-color.
En la AD los vasos son tortuosos y penetran el miometrio.



Hallazgos RM de pelvis:

Coronal T2

-T2: Masas bien definidas con señal homogénea e hipointensa (flecha roja) o ligeramente con mayor intensidad de señal y heterogénea (*)





Adenomiosis: Diagnósticos Diferenciales: Malformaciones vasculares

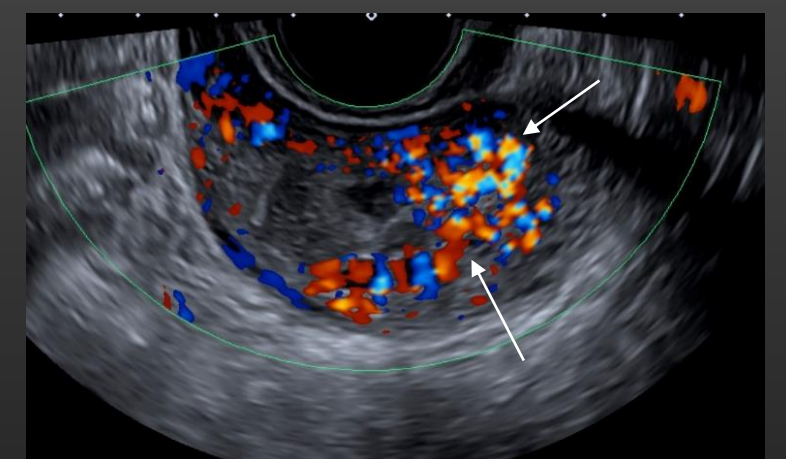
688

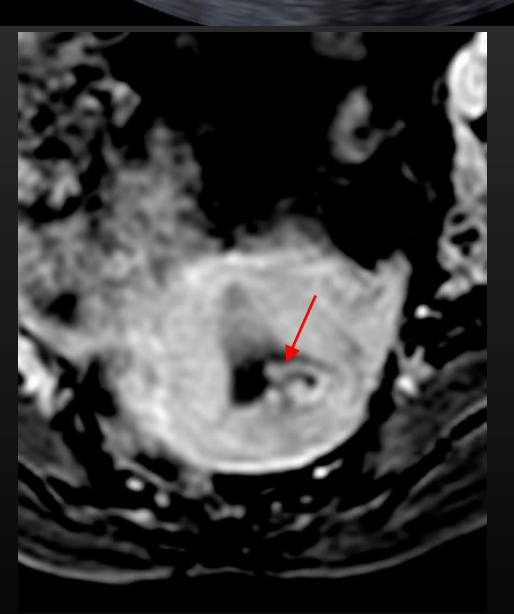
Pueden ser congénitas o adquiridas (abortos, intervenciones quirúrgicas, entre otras).

Consiste en proliferación de vasos arteriales y venosos con formación de fístulas y pequeños canales similares a capilares.

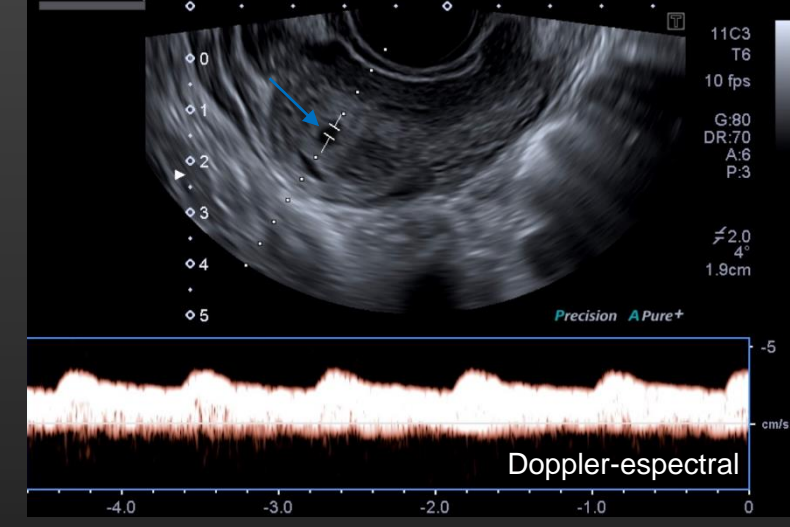
TEACHING POINT:

El Doppler-color y el Dopplerespectral son herramientas útiles para confirmar estructura vascular en el espesor del miometrio.





T1 fat sat axial con contraste endovenoso: Vaso anómalo miometrial que penetra la cavidad "malformación vascular" (flecha roja)



Hallazgos ecográficos:

- -Imágenes tubulares hipoecoicas o anecoicas en el miometrio (flecha azul).
- -Doppler-color: presencia de flujo en los espacios anecoicos (flechas blancas).
- -Doppler-espectral: Flujo turbulento de alta velocidad con índice de baja resistencia





Adenomiosis: Tratamiento

Dependerá de la presencia de síntomas como dolor, sangrado uterino anormal o infertilidad.

TRATAMIENTO MÉDICO

De primera línea



Cuando existe sangrado uterino anormal se utilizan píldoras anticonceptivas combinadas.

TRATAMIENTO QUIRÚRGICO





Incluyen pacientes con
dismenorrea e hipermenorrea
que no responden a tratamiento
médico o pacientes con
infertilidad o abortos
espontáneos recurrentes.

Cuando es AD focal se puede realizar resección mediante laparotomía o cirugía laparoscópica, mientras que en la AD difusa se limita a laparotomía.





Zona de unión engrosada en forma difusa o focal de

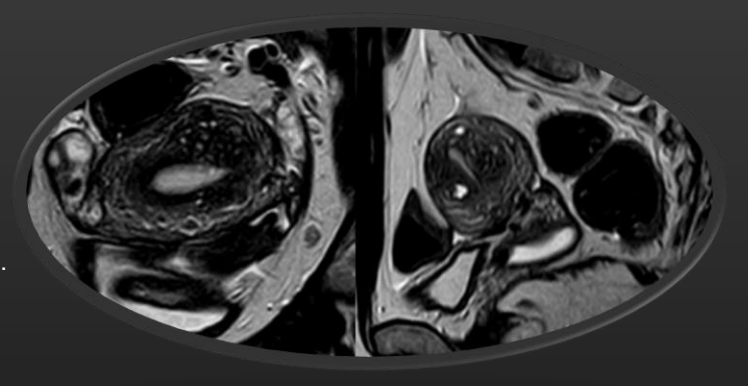
aspecto hipointensa.

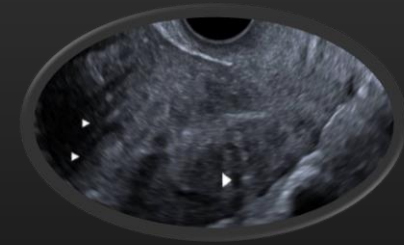
Es importante destacar el rol del radiólogo en el diagnóstico de AD, ya que su prevalencia oscila entre 5% al 70% y su incidencia es incierta, permitiendo la ETV y la RM reconocer hallazgos relevantes para un diagnóstico correcto, ofreciendo así, un tratamiento oportuno y evitando intervenciones quirúrgicas innecesarias.



Doppler-color muestra vasos tortuosos penetrantes en el miometrio heterogéneo.

Áreas hipointensas asociadas a quistes hiperintensos internos en T2.

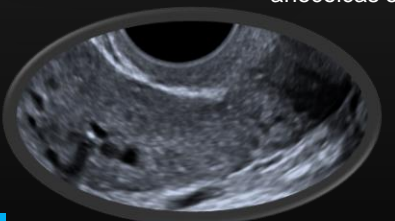




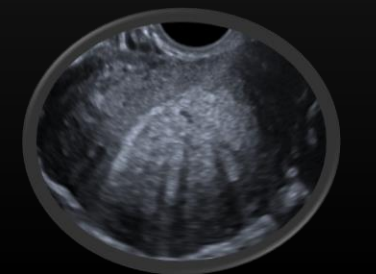
"Persiana Veneciana" trazos hipoecoicos miometriales paralelos entre sí.

Adenomiosis

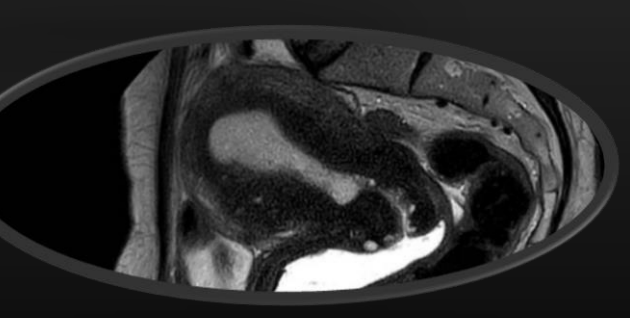
Imágenes quísticas anecoicas en el miometrio.



Adenomiosis asimétricas con desplazamiento del endometrio.



Adenomiosis difusa: Miometrio heterogéneo asociado a "Persiana Veneciana".







- 1. Reinhold C, Tafazoli F, Mehio A, Wang L, Atri M, et al. Uterine adenomyosis: Endovaginal US and MR imaging features with histopathologic correlation. Radiographics. 1999;19(suppl_1):S147–60. http://dx.doi.org/10.1148/radiographics.19.suppl_1.g99oc13s147
- 2. Jensen KK, Pyle C, Foster BR, Sohaey R, Oh KY. Adenomyosis in pregnancy: Diagnostic pearls and pitfalls. Radiographics. 2021;41(3):929–44. http://dx.doi.org/10.1148/rg.2021200120
- 3. Abbott JA. Adenomyosis and Abnormal Uterine Bleeding (AUB-A): Pathogenesis, diagnosis, and management. Best Pract Res Clin Obstet Gynaecol 2017;40:68–81.
- 4. García-Solares J, Donnez J, Donnez O, Dolmans MM. Pathogenesis of uterine adenomyosis: invagination or metaplasia? Fertil Steril 2018;109(3):371–379.
- 5. Struble J, Reid S, Bedaiwy MA. Adenomiosis: una revisión clínica de una condición ginecológica desafiante. J Minim Invasive Gynecol 2016;23(2):164–185.
- 6. Harada T, Khine YM, Kaponis A, Nikellis T, Decavalas G, et al. El impacto de la adenomiosis en la fertilidad de la mujer. Obstet Gynecol Surv 2016;71(9):557–568.
- 7. Tamai, K., Togashi, K., Ito, T., Morisawa, N., Fujiwara, T., et al. (2005). MR imaging findings of adenomyosis: Correlation with histopathologic features and diagnostic pitfalls. *Radiographics: A Review Publication of the Radiological Society of North America, Inc*, 25(1), 21–40. https://doi.org/10.1148/rg.251045060
- 8. Cunningham, RK, Horrow, MM, Smith, RJ y Springer, J. (2018). Adenomiosis: un diagnóstico ecográfico. *RadioGraphics; 38* (5), 1576–1589. https://doi.org/10.1148/rg.2018180080
- 9. García, L., & Isaacson, K. (2011). Adenomiosis: revisión de la literatura. J Minim Invasive Gynecol, 18 (4), 428–437.
- 10. K. Tamai, K. Togashi, T. Ito, N. Morisawa, T. Fujiwara, et al. Hallazgos de imágenes de RM de adenomiosis: correlación con características histopatológicas y dificultades de diagnóstico Radiografías, 25 (2005), pp 21–40.
- 11. M. Bazot, A. Cortez, E. Darai, J. Rouger, J. Chopier, *et al.* Ultrasonografía comparada con resonancia magnética para el diagnóstico de adenomiosis: correlación con histopatología Hum Reprod, 16 (2001), págs. 2427 2433
- 12. Byun, JY, Kim, SE, Choi, BG, Ko, GY, Jung, SE, et al. Adenomiosis difusa y focal: hallazgos en la RM. *RadioGraphics: A Review Publication of the Radiological Society of North America, Inc.*, 19 (suppl_1), S161–S170. https://doi.org/10.1148/radiographics.19.suppl_1.g99oc03s161
- 13. Outwater EK, Siegelman ES, Deerlin VV. Adenomyosis: current concepts and imaging considerations. AJR 1998; 170:437-441.
- 14. Chiang CH, Chang MY, Hsu JJ, et al. Tumor vascular pattern and blood flow impedance in the differential diagnosis of leiomyoma and adenomyosis by color Doppler sonography. J Assist Reprod Genet 1999;16(5):268–275.



